

<b>Dossier de construction du Réseau:</b>	<b>DMW456-F529B</b>	<b>N° de demande:</b>	<b>YQ00-336656668-2014</b>
		<b>Validé le:</b>	<b>31/08/2023</b>
<b>Matériau:</b> Inco718 <span style="float: right;"><b>TTH:</b> R1</span> <b>Applicable:</b> PIECES FORGEES G=10-12 SUIVANT DMC0250 <b>Classe d'Applicable:</b> PIECES FORGEES G=10-12 <b>Niveau statistique:</b> Mini			
<b>Objectif:</b>	Mise à jour du réseau DMW0456-F529A au format .bmat modèle 2 vers le nouveau modèle .bmat modèle 3 Définition modèle 2 : pas de population 2 Définition modèle 3 : transition semi log entre c1 et c2		

Les Courbes de fatigue:					
Températures (°C)	Courbes	Bornes des courbes en Cycles	Catégorie	Niveau Stat	Valeur de K et de l'écart-type
-60	Extrapolation : identique à 20°C				
20	DMD0456-4052A	6918 à 2e6	II	Mini	
200	DMD0456-4053A	4073 à 2e6	II	Mini	
350	DMD0456-4054A	5248 à 2e6	II	Mini	
450	DMD0456-4055A	2884 à 2e6	II	Mini	
550	DMD0456-4056A	2344 à 2e6	II	Mini	
650	DMD0456-4057A	2398 à 2e6	II	Mini	
700	Extrapolation : rapport des Rm 650°C				

\*Les courbes surlignées en orange sont les courbes interpolées ou extrapolées dans le Réseau à partir des courbes sources

\*Les autres courbes sont les courbes sources

Propriétés de Traction et coefficients de Walker		
Les propriétés de Traction et les coefficients de Walker utilisés pour la construction du Réseau sont présentés dans le tableau ci-dessous:		
Propriétés	Courbes	Commentaires
Rm	DMD0456-2001E	Niveau statistique Mini
A%	DMD0456-2003C	Les Valeurs de A% sont prises au niveau statistique Mini
E	DMD0456-1001A	Les Valeurs de Module sont prises au niveau statistique moyen
Coeff. Walker	DMD0456-4051A	

Contexte
<p>Le réseau DMW0456-F529A au format .bmat modèle 2 a été construit pour remplacer le réseau historique DMD0456-F008A afin de résoudre les problèmes d'interpolation. Cependant, il a été constaté qu'un nouveau modèle permettait de mieux modéliser le réseau historique.</p> <p>Cette mise à jour consiste à changer de modèle pour prendre en compte la population 2 absente du modèle 2.</p> <p>La construction de ce nouveau réseau s'inspire du réseau historique et non du réseau précédent.</p> <p>Les comparaisons sont faite par rapport au réseau précédant DMW0456-F529A afin de visualiser l'impact de la mise à jour.</p> <p>En toute fin de rapport se trouve une comparaison avec le réseau historique DMD0465-F008A.</p>

Dossier de construction du Réseau:

DMW456-F529B

N° de demande:

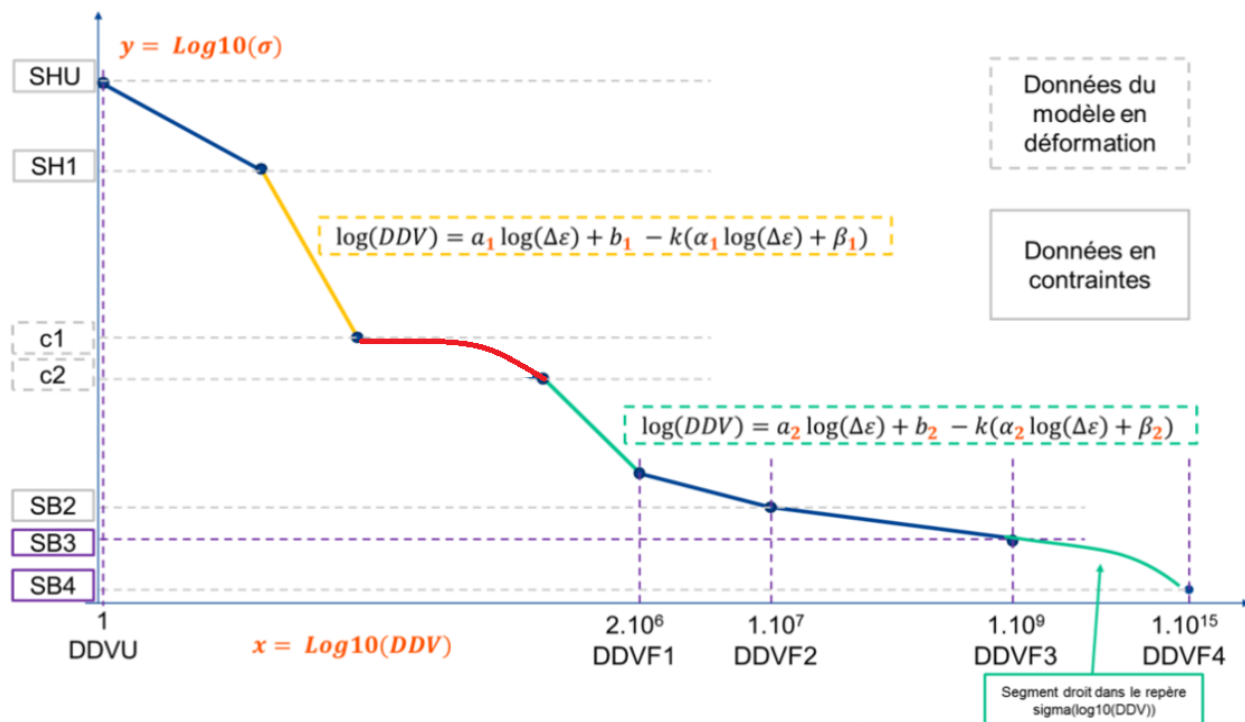
YQ00-336656668-2014

Validé le:

31/08/2023

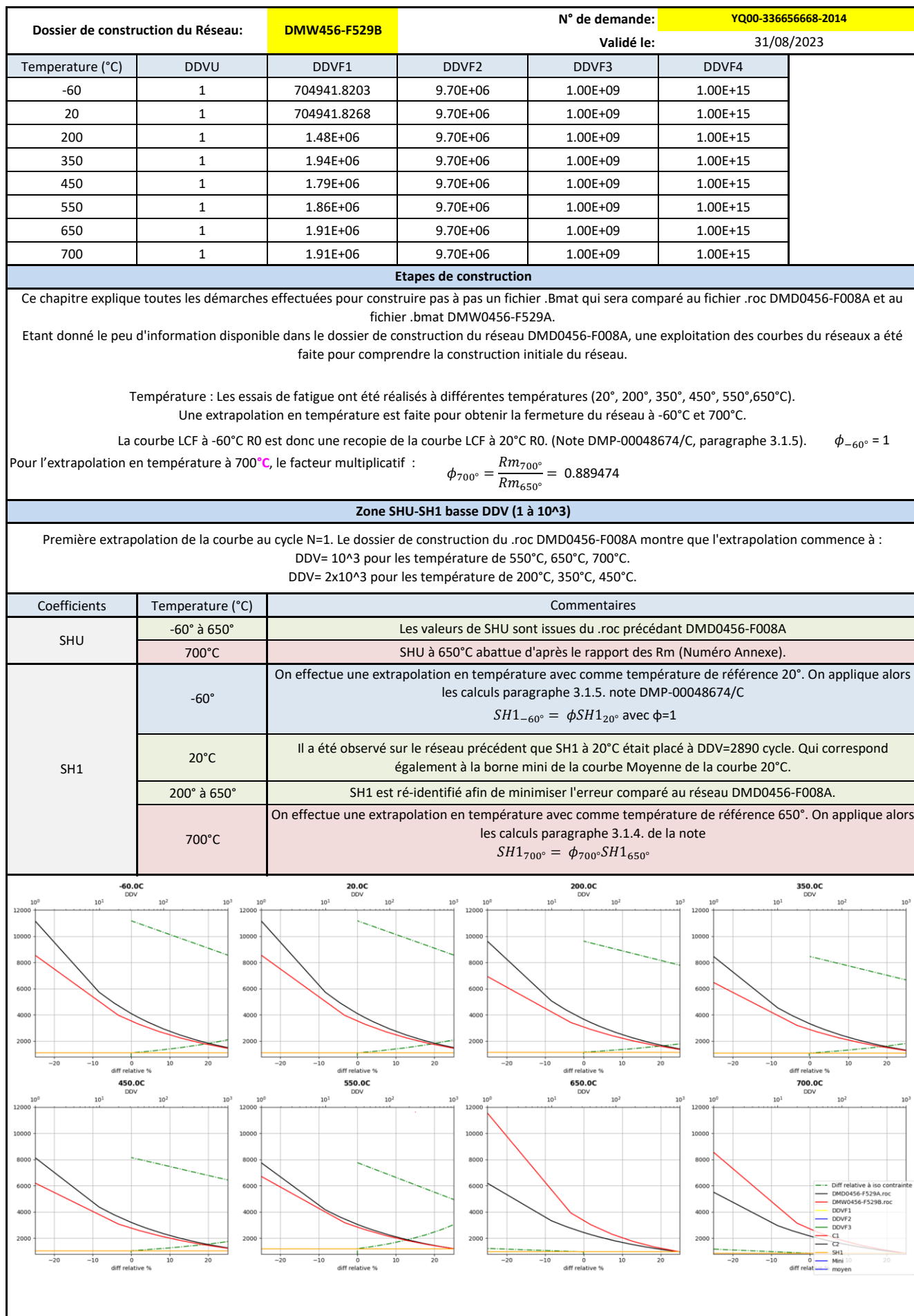
## Présentation du modèle :

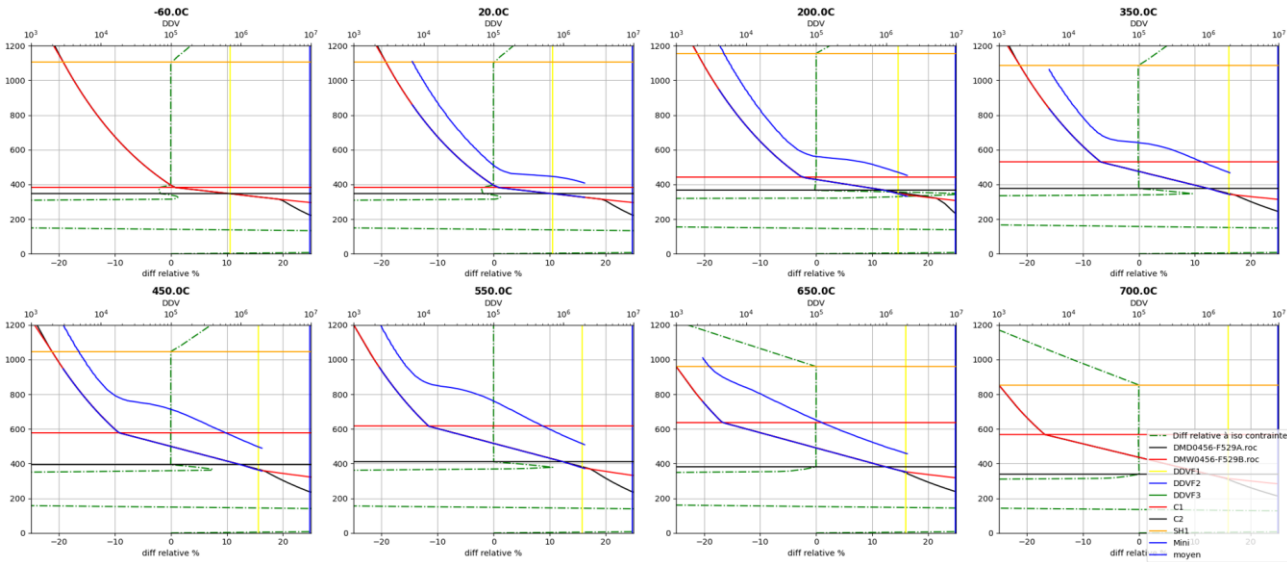
Modèle 3



Morceaux	Modèles mathématiques	Bornes	Commentaires
1	du type : linéaire en $\log(\Delta \sigma)$ en fonction du $\log(DDV)$	SHU à SH1	Fermeture au premier cycle
2	$\log(DDV) = a_1 \log(\Delta \epsilon) + b_1 - k(\alpha_1 \log(\Delta \epsilon) + \beta_1)$	SH1 à c1	Population 1 du modèle bimodal
3	du type : linéaire dans un repère semi-log (c'est à dire en $\sigma$ en fonction de $\log(DDV)$ )	c1 à c2	
4	$\log(DDV) = a_2 \log(\Delta \epsilon) + b_2 - k(\alpha_2 \log(\Delta \epsilon) + \beta_2)$	c2 à DDVF1	Population 2 du modèle bimodal
5	du type : linéaire en $\log(\Delta \sigma)$ en fonction du $\log(DDV)$	DDVF1 à DDVF2	
6	du type : linéaire en $\log(\Delta \sigma)$ en fonction du $\log(DDV)$	DDVF2 à DDVF3	Extrapolation à haute durée de vie
7	du type : linéaire dans un repère semi-log (c'est à dire en $\sigma$ en fonction de $\log(DDV)$ )	DDVF3 à DDVF4	Fermeture du réseau
Coefficient	Définition	Commentaire	
SHU	Contrainte au 1er cycle en MPa définie par la formule suivante: $E(T)$ : module d'Young à la température T $A\%(T)$ : allongement à la rupture à la température T $R$ : Rapport de charge $\sigma_T(N = 1) = \frac{1-R}{2} E_{moyen}(T) \times \ln \left( 1 + \frac{A\%_{niveau\ stat\ réseau}(T)}{100} \right)$	Les valeurs de SHU à chaque température sont issues du réseau DMD456-F008A. Elles n'ont pas été re-calculées (sauf pour 700°C).	
SH1	Premier point de la population 1.	/	
c1	Position du coude de la population 1 en %déformation	Fin de pop1	
c2	Position du coude de la population 2 en %déformation. c1 abattu de 5%	Début de pop2	
SB2	Contrainte du dernier point de la population 2 abattue de 5%.	Associé à DDVF2	
SB3	Contrainte SB2 abattue de 15%.	Associé à DDVF3	
SB4	Contrainte imposé à 0.01MPa.	Associé à DDVF4	
DDVFU	DDV = 1	Durée de vie au premier cycle N=1	
DDVF1	DDV du dernier point de la population 2.	Valeur différente selon les Températures. Ce n'est pas 2.10^6	
DDVF2	DDV fixée à 9.70E+06	Valeur d'un iso-cycle des .roc. Ce n'est pas exactement 10^7 mais bien 9.70E+06	

Dossier de construction du Réseau:		DMW456-F529B	N° de demande:		YQ00-336656668-2014
			Validé le:		31/08/2023
DDVF3	DDV = 10^9		/		
DDVF4	DDV = 10^15		Durée de vie de fermeture de l'extrapolation fixé à 10^15		
a1/2	Coefficient directeur du modèle moyen de la population 1 et 2.		Dans CREAM		
b1/2	Ordonnée à l'origine du modèle moyen de la population 1 et 2.		Dans CREAM		
α1/2	Coefficient directeur de l'écart-type variable de la population 1 et 2.		Dans CREAM		
β1/2	Ordonnée à l'origine de l'écart-type variable de la population 1 et 2.		Dans CREAM		
k	Niveau statistique		Dans notre cas : k=3		
Présentation In Data :					
Entête du fichier In data					
START_OF_HEADER					
Young_file DMD0456-1001A-young.txt --> Nom du fichier module d'Young					
k_stat 3 --> Niveau statistique. Ici k = 3					
Out_name DMW0456-F529B --> Nom de sortie du fichier bmat					
Walker_neg DMD0456_walker_neg.txt --> Nom du fichier Walker positif					
Walker_pos DMD0456_walker_pos.txt --> Nom du fichier Walker négatif					
END_OF_HEADER					
MODEL 3 --> Choix du Modèle					
Corps du fichier In Data comportant les paramètres de courbes					
Temperature (°C)	a1	b1	α1	β1	c1
-60	-3.44598	2.943707075	0	0.129	0.189291662
20	-3.44598	2.949209	0	0.129	0.189988846
200	-3.585945	2.877881	0	0.129	0.22673262
350	-3.702582	2.818441	0	0.129	0.283659406
450	-3.702582	2.818441	0	0.129	0.321791129
550	-3.702582	2.818441	0	0.129	0.359841464
650	-3.702582	2.638441	0	0.1548	0.397913845
700	-3.702582	2.505132857	0	0.1548	0.366256168
Temperature (°C)	a2	b2	α2	β2	c2
-60	-7.139506	1.354395912	0	0.326	0.171235735
20	-7.139506	1.365795	0	0.326	0.171866417
200	-7.139506	1.796433	0	0.326	0.188126165
350	-7.139506	2.015206	0	0.326	0.201422931
450	-7.139506	2.272099	0	0.326	0.219223897
550	-7.139506	2.552214	0	0.326	0.239940422
650	-8.45645	1.698381	0	0.326	0.237408876
700	-8.446	1.4005	0	0.326	0.218520834
Temperature (°C)	SHU	SH1	SB2	SB3	SB4
-60	8561.88122	1106.51602	295.6889412	251.3356	0.01
20	8561.88122	1106.51602	295.6889412	251.3356	0.01
200	6933.64787	1155.80477	307.3334482	261.233431	0.01
350	6476.2617	1085.93044	313.9148141	266.827592	0.01
450	6214.40408	1046.37628	323.1632259	274.688742	0.01
550	6720.45265	1201.41357	332.3461965	282.494267	0.01
650	11554.8573	959.683086	318.5476235	270.76548	0.01
700	8561.88122	853.6131532	283.339728	240.8387688	0.01



Dossier de construction du Réseau:		DMW456-F529B	N° de demande:	YQ00-336656668-2014
			Validé le:	31/08/2023
Zone population 1/ 2, coude 1/2				
La courbe LCF à 20°C présente une population 2 définie en un seul point. La courbe LCF à 20°C comporte également une transition log-log entre c1 et c2 qui a été modifiée en une transtion semi-log avec le passage en modèle 3.				
				
Coefficients	Temperature (°C)	Commentaires		
a1 et a2	-60°	On effectue une extrapolation en température avec comme température de référence 20°. On applique alors les calculs dans la note DMP-00048674/C paragraphe 3.1.5. $a1_{-60^\circ} = a1_{20^\circ}$ et $a2_{-60^\circ} = a2_{20^\circ}$		
	20° à 650°	Les coefficients directeurs des droites de chaque population ont été retrouvés dans CREAM.		
	700°	Pour 700°C, on effectue une extrapolation en température avec comme température de référence 650°C. On applique alors les calculs de la note DMP-00048674/C paragraphe 3.1.4. $a1_{700^\circ} = a1_{650^\circ}$ et $a2_{700^\circ} = a2_{650^\circ}$ .		
b1 et b2	-60°	On effectue une extrapolation en température avec comme température de référence 20°C. On applique alors les calculs dans la note DMP-00048674/C paragraphe 3.1.5. $b1_{-60^\circ} = b1_{20^\circ} - a1_{20^\circ} \log_{10} \left( \frac{E_{20^\circ}}{E_{-60^\circ}} \right)$ $b2_{-60^\circ} = b2_{20^\circ} - a2_{20^\circ} \log_{10} \left( \frac{E_{20^\circ}}{E_{-60^\circ}} \right)$		
	20° à 650°	Les ordonnées à l'origine des droites de chaque population ont été retrouvés dans CREAM.		
	700°C	Pour 700°C, on effectue une extrapolation en température avec comme température de référence 650°C. On applique alors les calculs de la note DMP-00048674/C paragraphe 3.1.4. $b1_{700^\circ} = b1_{650^\circ} - a1_{650^\circ} \log_{10} \left( \frac{E_{650^\circ}}{E_{700^\circ}} \right) - a1_{650^\circ} \log_{10} (\phi_{700^\circ})$		
$\alpha 1$ et $\alpha 2$	-60° à 700°	Valeurs retrouvées dans CREAM. Elles valent 0.		
$\beta 1$ et $\beta 2$	-60°	On effectue une extrapolation en température avec comme température de référence 20°C. On applique alors les calculs de la note DMP-00048674/C paragraphe 3.1.5. $\beta 1_{-60^\circ} = \beta 1_{20^\circ}$		
	20° à 650°	Les ordonnées à l'origine des écart-types des droites de chaque population ont été retrouvés dans CREAM.		
	700°	On effectue une extrapolation en température avec comme température de référence 650°C. On applique alors les calculs de la note DMP-00048674/C paragraphe 3.1.4. ( $\alpha=0$ ) $\beta 1_{700^\circ} = \beta 1_{650^\circ}$		
c1 et c2	-60°	On effectue une extrapolation en température avec comme température de référence 20°C. On applique alors les calculs paragraphe 3.1.5 (note : DMP-00048674/C). Attention : $c2_{-60^\circ} \neq c1_{-60^\circ} - 0,05$ $c1_{-60^\circ} = c1_{20^\circ} \log \left( \frac{E_{20^\circ}}{E_{-60^\circ}} \right)$ $c2_{-60^\circ} = c2_{20^\circ} \log \left( \frac{E_{20^\circ}}{E_{-60^\circ}} \right)$		
	20° à 650°	La position des coude a été définie par les valeurs de déformation mini trouvées dans le Script R de génération du réseau historique. Aucun lien entre c1 et c2 n'a été trouvé.		
	700°	On effectue une extrapolation en température avec comme température de référence 650°C. On applique alors les calculs de la note DMP-00048674/C paragraphe 3.1.4. $c1_{700^\circ} = \phi_{700^\circ} c1_{650^\circ} \log \left( \frac{E_{650^\circ}}{E_{700^\circ}} \right)$ $c2_{700^\circ} = \phi_{700^\circ} c2_{650^\circ} \log \left( \frac{E_{650^\circ}}{E_{700^\circ}} \right)$		



Dossier de construction du Réseau:

DMW456-F529B

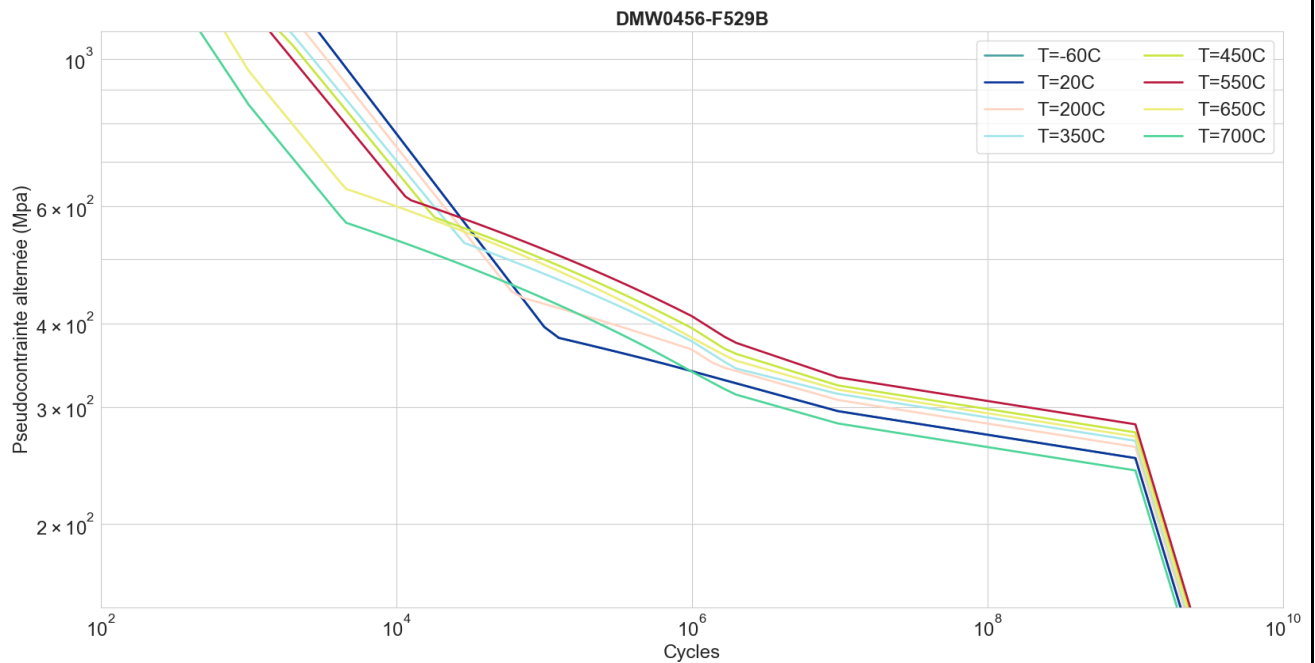
N° de demande:

YQ00-336656668-2014

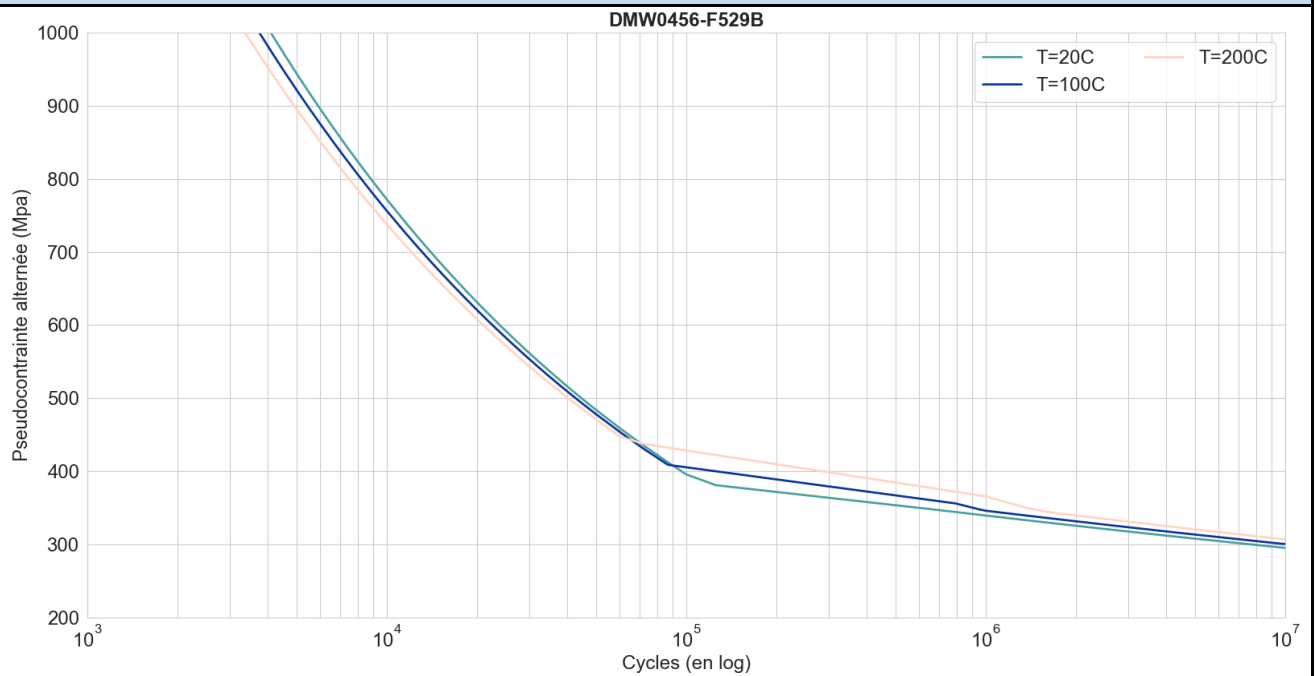
Validé le:

31/08/2023

## Températures expérimentales



## Interpolation en température



Dossier de construction du Réseau:

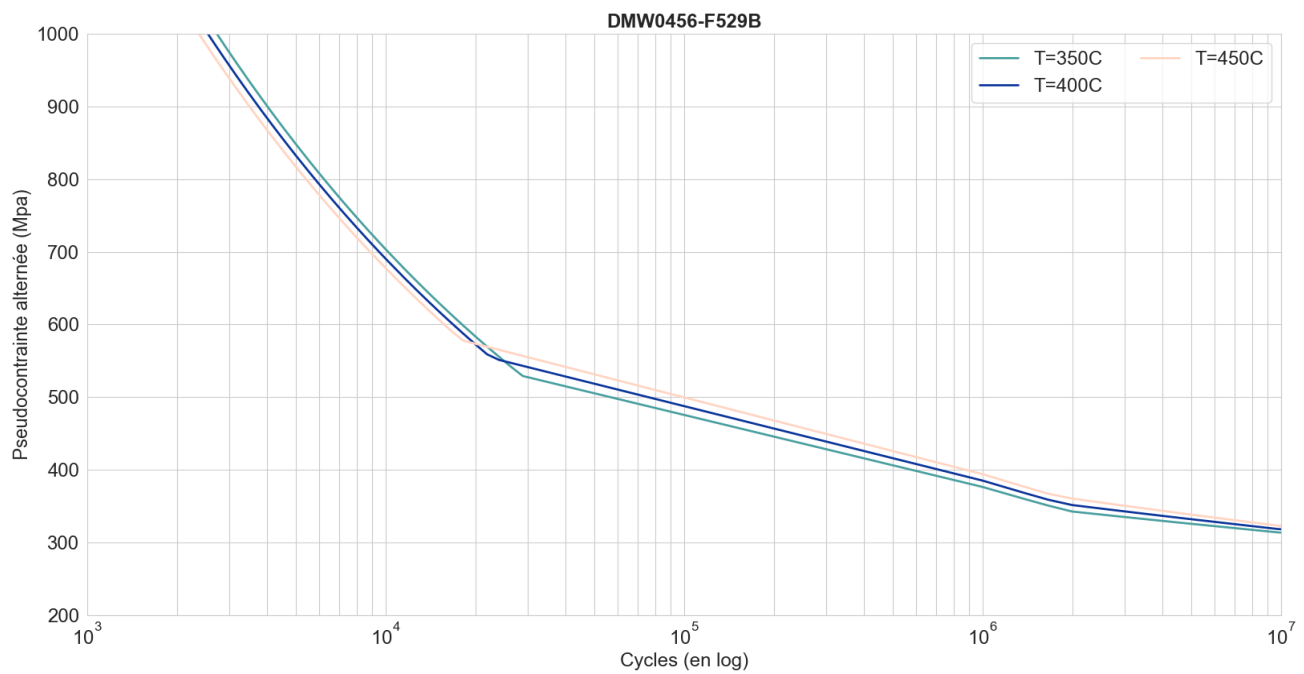
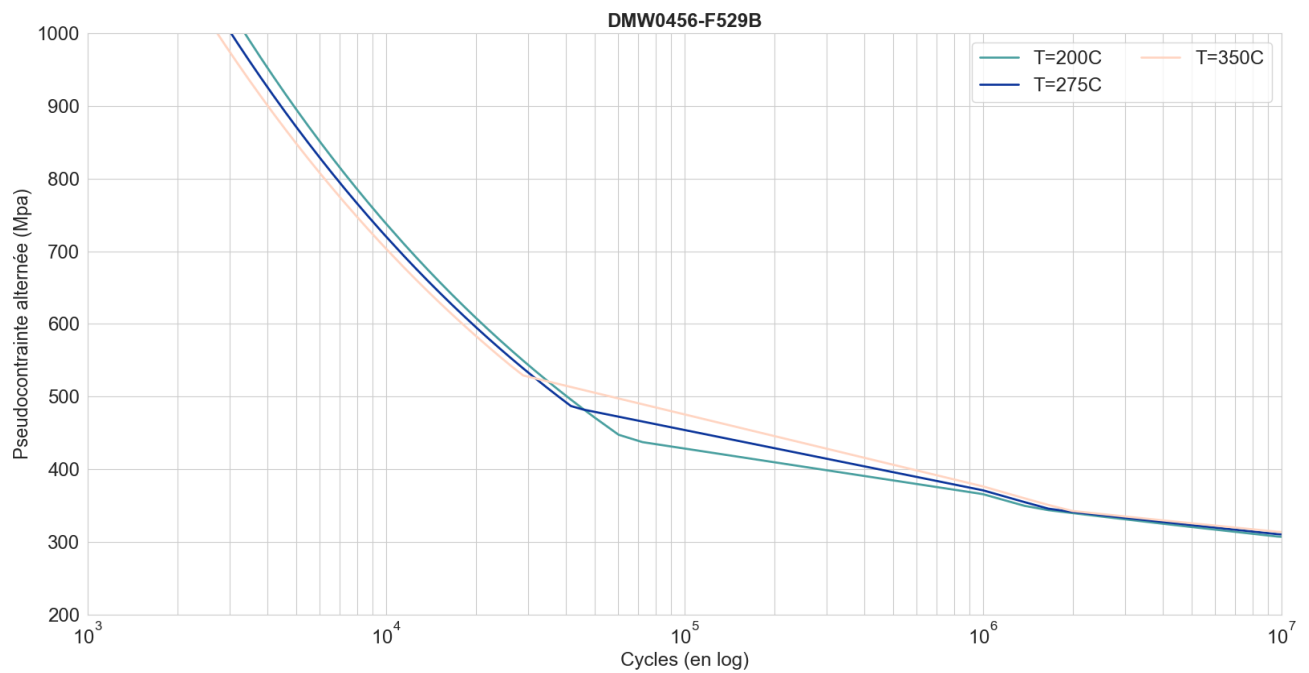
DMW456-F529B

N° de demande:

YQ00-336656668-2014

Validé le:

31/08/2023





Dossier de construction du Réseau:

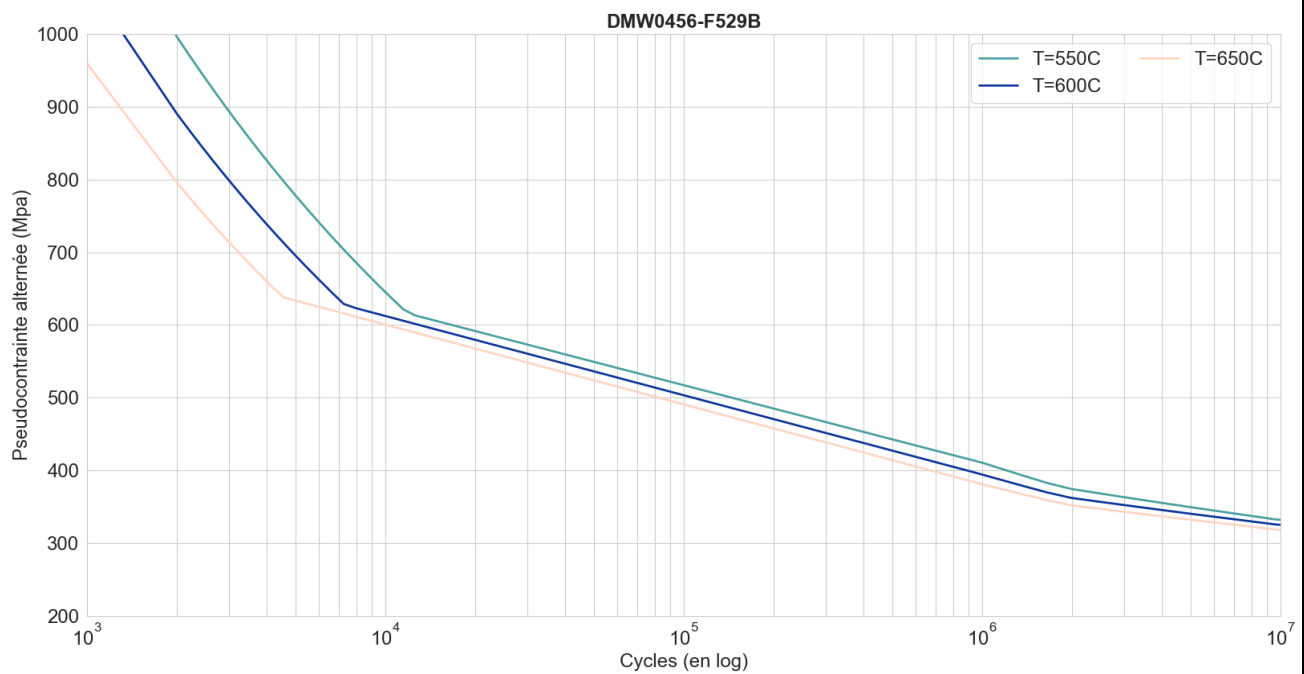
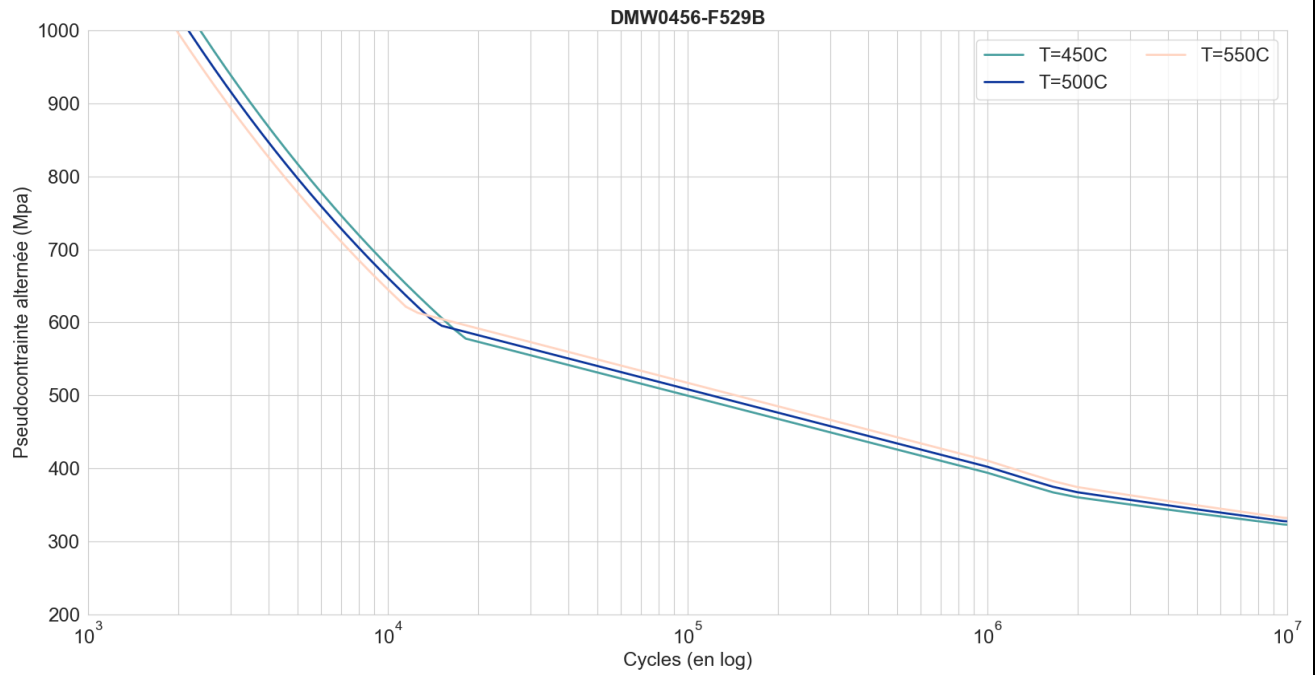
DMW456-F529B

N° de demande:

YQ00-336656668-2014

Validé le:

31/08/2023



Dossier de construction du Réseau:

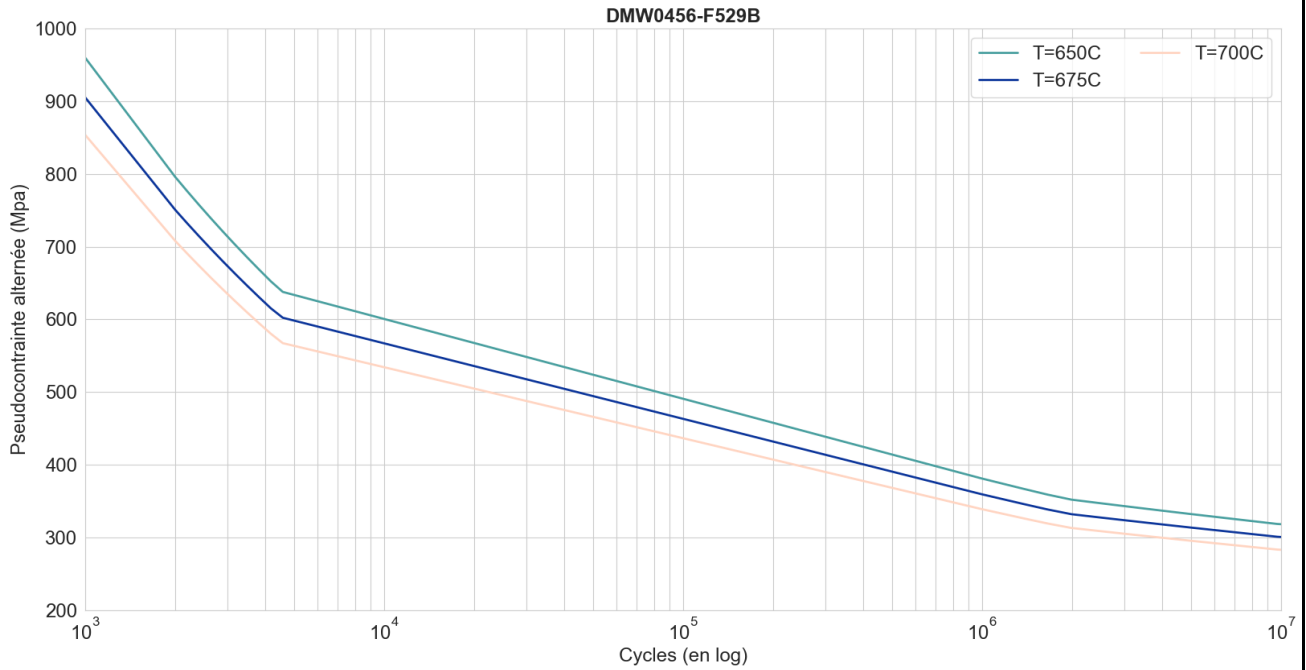
DMW456-F529B

N° de demande:

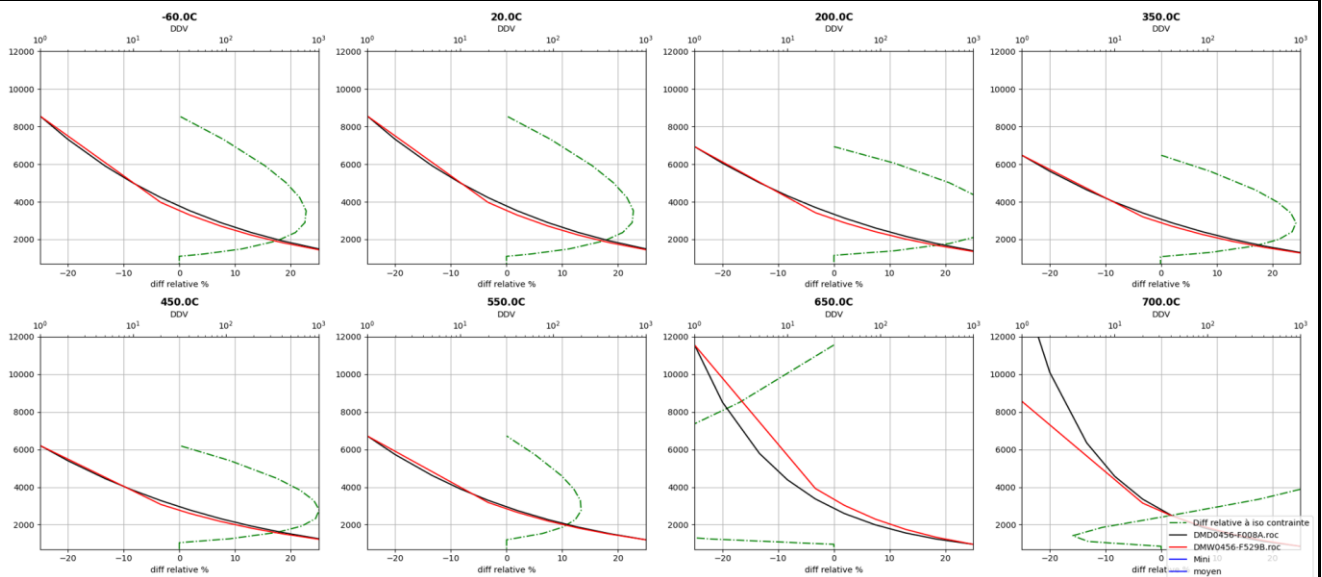
YQ00-336656668-2014

Validé le:

31/08/2023



Comparaison avec DMD0456-F008A

SHU - SH1 1 - 10<sup>3</sup>

Dossier de construction du Réseau:

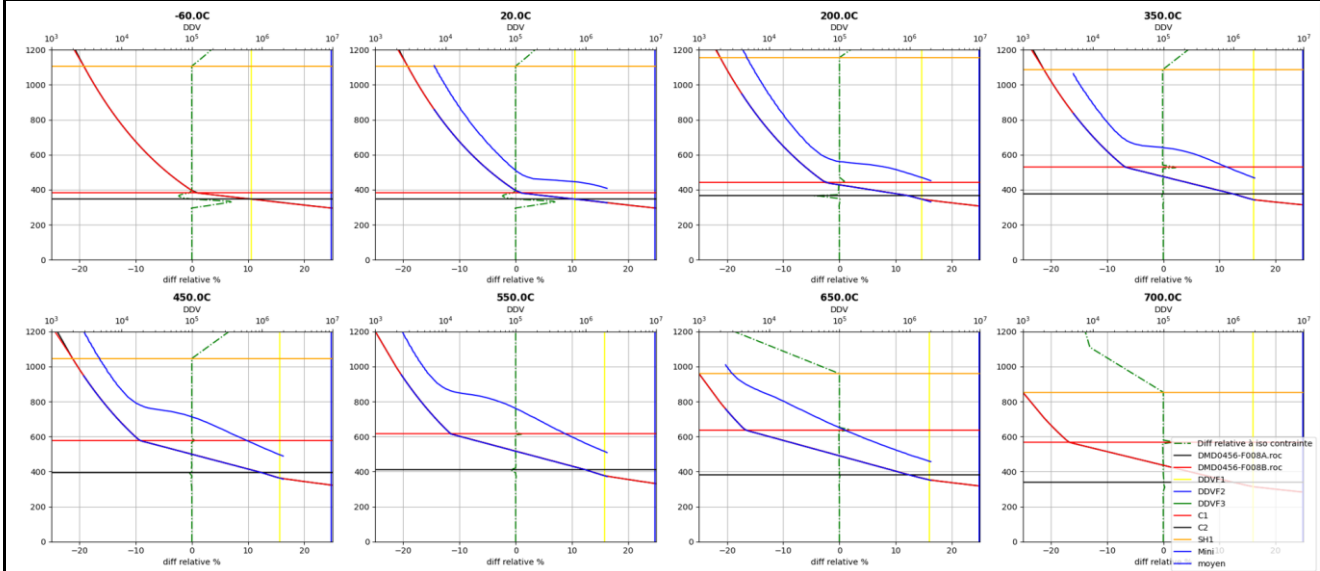
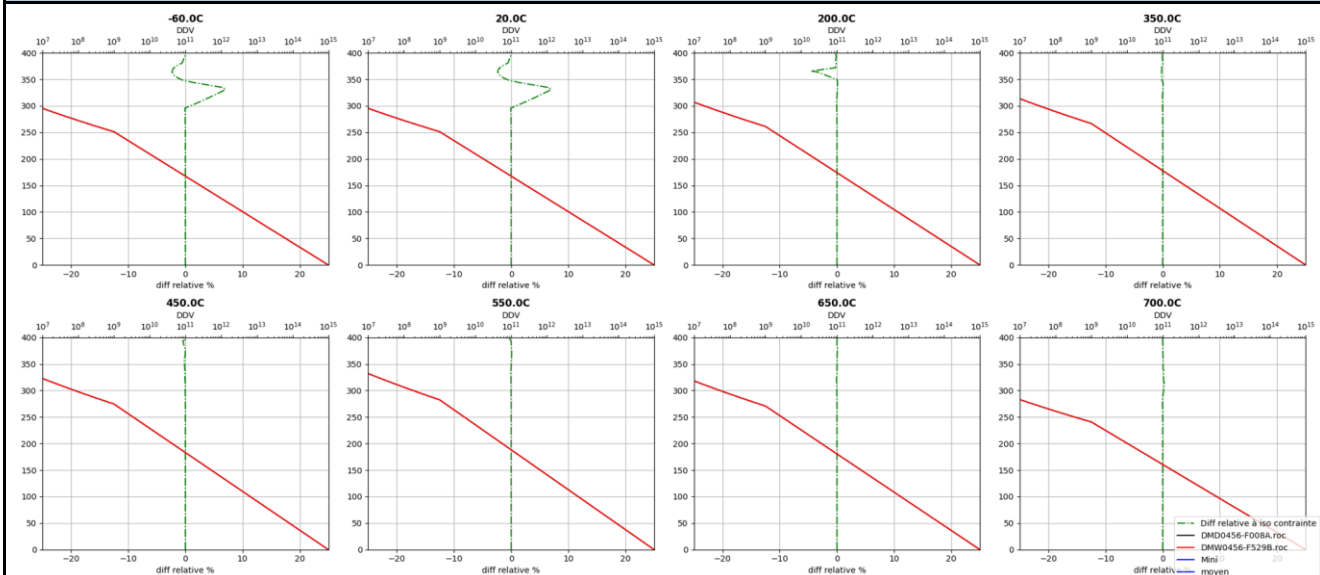
DMW456-F529B

N° de demande:

YQ00-336656668-2014

Validé le:

31/08/2023

ZONE CENTRALE  $10^3 - 10^7$ Extrapolation  $10^7 - 10^{15}$ 

Fin